

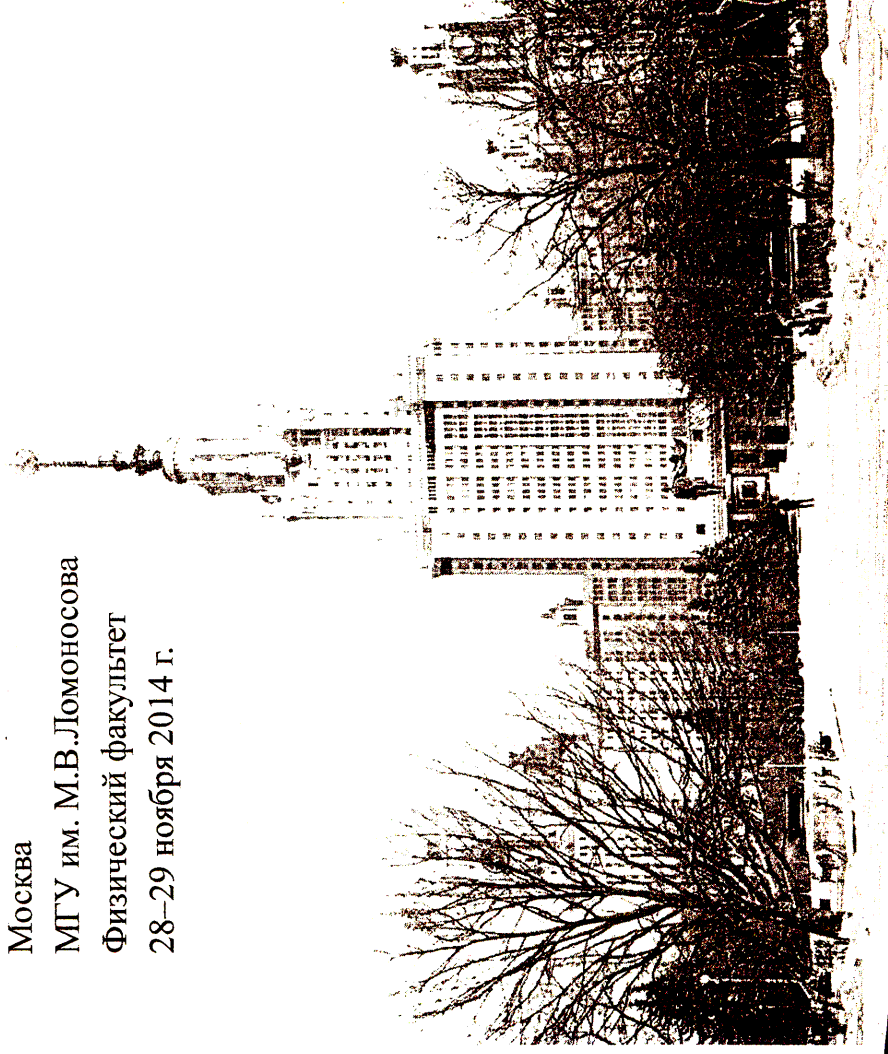
Московский государственный университет имени М.В. Ломоносова
ФИЗИЧЕСКИЙ ФАКУЛЬТЕТ

Международный научный семинар

АКТУАЛЬНЫЕ ПРОБЛЕМЫ МАТЕМАТИЧЕСКОЙ ФИЗИКИ

Сборник тезисов докладов

Москва
МГУ им. М.В.Ломоносова
Физический факультет
28–29 ноября 2014 г.



МЕТОДЫ С РАСЩЕПЛЕНИЕМ ПО ПОТЕНЦИАЛУ И ДИСКРЕТНЫМИ ПГУ ДЛЯ ЧИСЛЕННОГО РЕШЕНИЯ НЕСТАЦИОНАРНОГО УРАВНЕНИЯ ШРЁДИНГЕРА В НЕОГРАНИЧЕННОМ ПАРАЛЛЕЛЕПИПЕДЕ

Злотник А.А.

НИУ Высшая школа экономики, г. Москва
azlotnik2007@mail.ru

Уравнение Шрёдингера играет важную роль в квантовой механике и электронике, ядерной, атомной, волновой физике и др. Часто его необходимо решать в неограниченных областях. Для этой цели разработан ряд методов, обычно использующих приближенные прозрачные граничные условия (ПГУ) на искусственных границах, в том числе дискретные ПГУ. Для последних полностью отсутствуют отражения от искусственных границ на практике и разработана строгая математическая теория. В настоящей работе для возможности эффективной реализации двухслойных схем с дискретными ПГУ в многомерном случае предлагается применить расщепление по потенциалу типа Стрэнга. Это делается единообразно как для схемы 2-го порядка аппроксимации, так и особенно полезных на практике схем повышенного порядка аппроксимации. Даются теоремы о виде дискретных ПГУ для схем с расщеплением и о единственности и равномерной по времени L^2 -устойчивости их решений.

Рассмотрим многомерное нестационарное уравнение Шрёдингера

$$i\hbar \frac{\partial \psi}{\partial t} = -\frac{\hbar^2}{2m_0} \Delta \psi + V\psi \text{ при } x = (x_1, \dots, x_n) \in \Pi_\infty, t > 0, \quad (1)$$

где i — мнимая единица, $\hbar > 0$ и $m_0 > 0$ — постоянные, Δ — n -мерный оператор Лапласа, $n \geq 2$, $\Pi_\infty := (0, \infty) \times (0, X_1) \times \dots \times (0, X_n)$ — полубесконечный параллелепипед. Также $\psi = \psi(x, t)$ — искомая комплекснозначная волновая функция, а $V(x)$ — заданный вещественный потенциал. Пусть $c_n := \hbar^2 / 2m_0$.

Поставим следующие граничные, на бесконечности и начальные условия

$$\psi(\cdot, t)|_{\partial \Pi_\infty} = 0, \|\psi(\cdot, t)\|_{L^2(\Pi_\infty)} < \infty \text{ при } t > 0, \psi|_{t=0} = \psi^0(x) \text{ на } \Pi_\infty, \quad (3)$$

где $\partial \Pi_\infty$ — граница Π_∞ . Предположим также, что $V(x) = V_\infty$, $\psi^0(x) = 0$ при $x \in \Pi_\infty$ и $x_1 \geq X_0$ при некотором (достаточно большом) $X_0 > 0$.

Введем равномерную сетку $\bar{\omega}_{h,\infty}$ на $\bar{\Pi}_\infty$ с узлами $x_j = (j_1 h_1, \dots, j_n h_n)$, где $j_i \geq 0$, $0 \leq j_2 \leq J_2, \dots, 0 \leq j_n \leq J_n$, и шагами $h_1 = X_1 / J_1, \dots, h_n = X_n / J_n$, где $X_1 > X_0$ и $h_1 \leq X_1 - X_0$. Пусть $\omega_{h,\infty} = \bar{\omega}_{h,\infty} \cap \Pi_\infty$ и $\Gamma_{h,\infty} := \bar{\omega}_{h,\infty} \setminus \omega_{h,\infty}$ — ее внутренняя часть и граница. Здесь и ниже $h = (h_1, \dots, h_n)$, $|h|$ — длина h и $j = (j_1, \dots, j_n)$. Введем операторы разностных отношений назад $\bar{\partial}_k$ и вперед ∂_k и усреднение по Нумерову $s_{mk} W_j := (W_{j-1} + 10W_j + W_{j+1}) / 12$ по x_k . Введем равномерную сетку $\bar{\omega}^t$ по времени с узлами $t_m = m\tau$, $m \geq 0$ и шагом $\tau > 0$. Пусть $\bar{\omega}^t := \bar{\omega}^t \setminus \{0\}$. Введем операторы разностного отношения назад $\bar{\partial}_t$ по t .

Введем n -мерный оператор усреднения по Нумерову $s_N = I + (h_1^2 / 12) \bar{\partial}_1 \bar{\partial}_1 + \dots + (h_n^2 / 12) \bar{\partial}_n \bar{\partial}_n$, расщепленный оператор $\bar{s}_N = s_{N_1} \dots s_{N_n}$ и

их $n-1$ -мерные варианты s_{N_k} и \bar{s}_{N_k} (без $(h_k^2 / 12) \bar{\partial}_k \bar{\partial}_k$ и s_{N_k}), а также дискретизации оператора Лапласа — простейшую $\Delta_h = \partial_1 \bar{\partial}_1 + \dots + \partial_n \bar{\partial}_n$, типа Нумерова $\Delta_{N_h} = s_{N_1} \bar{\partial}_1 \bar{\partial}_1 + \dots + s_{N_n} \bar{\partial}_n \bar{\partial}_n$ и ее модификацию с расщеплением $\bar{\Delta}_{N_h} = \bar{s}_{N_1} \bar{\partial}_1 \bar{\partial}_1 + \dots + \bar{s}_{N_n} \bar{\partial}_n \bar{\partial}_n$.

Рассмотрим три трехшаговых симметричных по времени дискретизации уравнения Шрёдингера (1) с расщеплением по потенциалу типа Стрэнга

$$i\hbar \frac{\bar{\Psi}^m - \bar{\Psi}^{m-1}}{\tau_m / 2} = \Delta V \frac{\bar{\Psi}^m + \bar{\Psi}^{m-1}}{2} \text{ на } \omega_{h,\infty}, \quad (3)$$

$$i\hbar s \frac{\bar{\Psi}^m - \bar{\Psi}^m}{\tau_m} = -c_n \Delta^{(n)} \frac{\bar{\Psi}^m + \bar{\Psi}^m}{2} + s \left(\frac{\bar{\Psi}^m + \bar{\Psi}^m}{2} \right) + F^m \text{ на } \omega_{h,\infty}, \quad (4)$$

$$i\hbar \frac{\bar{\Psi}^m - \bar{\Psi}^m}{\tau_m / 2} = \Delta V \frac{\bar{\Psi}^m + \bar{\Psi}^m}{2} \text{ на } \omega_{h,\infty}, \quad (5)$$

с краевыми и начальными условиями $\bar{\Psi}^m|_{\Gamma_{h,\infty}} = 0$, $\bar{\Psi}^m|_{t=0} = \Psi^0 = \Psi^0_h$ на $\bar{\omega}_{h,\infty}$, (6)

при всех $m \geq 1$, где $s = I$ (единичный оператор), s_N , \bar{s}_N и $\Delta^{(n)} = \Delta_h$, Δ_{N_h} , $\bar{\Delta}_{N_h}$ для дискретизаций A (типа Кранка-Никольсона), B (типа Нумерова-Кранка-Никольсона), C (с расщеплением пространственных операторов) соответственно. Кроме того, $\Delta V := V - \bar{V}$ и вспомогательный одномерный потенциал $\bar{V} = \bar{V}(x_1)$ таков, что $\bar{V}(x_1) = V_\infty$ при $x_1 \geq X_0$ (в частности, $\bar{V}(x_1) \equiv V_\infty$). Пусть $\Psi^0|_{\Gamma_{h,\infty}} = 0$. Слагаемое F^m добавлено в (4) для более полного изучения устойчивости. Функции $\bar{\Psi}$ и $\bar{\Psi}$ — вспомогательные неизвестные, а Ψ — основная.

Дискретизация A имеет погрешность аппроксимации 2-го порядка $O(\tau_{\max}^2 + |h|^2)$, а B и C — повышенный порядок $O(\tau_{\max}^2 + |h|^4)$. Однако операторы дискретизации B при $n \geq 3$ не обладают надлежащими спектральными свойствами и поэтому ниже она рассматривается только при $n = 2$, а в дополнение к ней и построена дискретизация C .

Ясно, что уравнения (3) и (5) сводятся к явным формулам $\bar{\Psi}^m = \mathcal{E}^m \bar{\Psi}^{m-1}$, $\Psi^m = \mathcal{E}^m \bar{\Psi}^m$ с $\mathcal{E}^m := (1 - i \frac{\tau_m}{4h} \Delta V) / (1 + i \frac{\tau_m}{4h} \Delta V)$. (7)

Пусть H_h — гильбертово пространство функций $W: \bar{\omega}_{h,\infty} \rightarrow \mathbb{C}$ таких, что $W|_{\Gamma_{h,\infty}} = 0$, $\|W\|_{H_h}^2 := \sum_{j_1=1}^{J_1-1} \dots \sum_{j_n=1}^{J_n-1} |W_j|^2 |h_1 \dots h_n| < \infty$.

Теорема 1. Пусть $F^m, \Psi^0_h \in H_h$ при всех $m \geq 1$. Тогда существует единственное решение схемы с расщеплением (3)–(6) такое, что $\Psi^m \in H_h$ при всех $m \geq 0$, и для него верно выражающая устойчивость оценка

$$\max_{0 \leq m \leq M} \|\Psi^m\|_{H_h} \leq \|\Psi^0\|_{H_h} + \frac{2c_0}{\hbar} \sum_{m=1}^M \|F^m\|_{H_h}, \text{ при всех } M \geq 1,$$

где $c_0 = 1, 6(3/2)^n$ для дискретизаций A, B, C соответственно.

При $F = 0$ верен закон сохранения $\|\Psi^m\|_{H_h}^2 = \|\Psi^0\|_{H_h}^2$ при всех $m \geq 1$.

для любых $\Phi: \omega_{h_1} \times \bar{\omega}^T \rightarrow \mathbb{C}$ таких, что $\Phi^0 = 0$, с $\Phi^m := \{\Phi^0, \dots, \Phi^m\}$ и $\Phi^q := (\mathcal{F}_n \dots (\mathcal{F}_2 \Phi) \dots)_{(q)}$, $q = (q_2, \dots, q_n)$. Явный вид σ_q и трехчленные рекуррентные формулы для вычисления R_q даны в [1-4].

Пусть для дискретизаций B и C выполнено условие $|\tilde{V}(a) - \tilde{V}(b)| \leq L|b - a|^\alpha$ при всех $0 \leq a < b \leq X_1$, с некоторым $\alpha \in [0, 1]$.

Теорема 3. Пусть $\Psi^0|_{j_n - j_1 - 1, j_1} = 0$. Решение схемы с расщеплением на конечной сетке единственно, если $L\tau h_k^2 < 8\tilde{h}$ либо $L\tau h_k^2 < 16\tilde{h}$ для дискретизаций B и C соответственно. Для него верна выражающая устойчивость в L^2 оценка

$$\max_{0 \leq m \leq M} \|\Psi^m\|_{\omega_h} \leq \|\Psi^0\|_{\omega_h} + \frac{2c_0}{\tilde{h}} \sum_{m=1}^M \|F^m\|_{\omega_h} \tau \text{ при всех } M \geq 1,$$

где обе нормы являются L^2 -нормами на соответствующих сетках.

Применение оператора $\mathcal{F}_2 \dots \mathcal{F}_n$ к уравнению (4) на ω_h (для краткости при $F = 0$) и дискретному ПГУ (9) приводит к набору независимых одномерных разностных задач Шрёдингера по x_i для каждой функции $\tilde{\Psi}^{mq}$

$$i\tilde{h}s_{q_1} \frac{\tilde{\Psi}^{mq} - \tilde{\Psi}^{mq}}{\tau} = -c_q \partial_i \tilde{\partial}_i \frac{\tilde{\Psi}^{mq} + \tilde{\Psi}^{mq}}{2} + s_{q_1} (\tilde{V} \frac{\tilde{\Psi}^{mq} + \tilde{\Psi}^{mq}}{2}) \text{ на } \omega_{h_1}, \tilde{\Psi}^{mq}|_{j_n - 1} = 0,$$

$$\left[c_{q_1} \tilde{\partial}_i \frac{\tilde{\Psi}^{mq} + \tilde{\Psi}^{mq}}{2} - h_1 s_{q_1} (i\tilde{h} \frac{\tilde{\Psi}^{mq} - \tilde{\Psi}^{mq}}{\tau} - V_{\alpha, q} \frac{\tilde{\Psi}^{mq} + \tilde{\Psi}^{mq}}{2}) \right] |_{j_1 - 1} = c_{q_1} (R_q * \tilde{\Psi}^0)_{j_1},$$

где $\tilde{V}_q := \tilde{V} + c_q \Delta V_{\alpha, q}$, а операторы $s_{q_1} \tilde{W}_{j_1} = \theta_q \tilde{W}_{j_1} + (1 - 2\theta_q) \tilde{W}_{j_1} + \theta_q \tilde{W}_{j_1 + 1}$ и $s_{q_1}^- \tilde{W}_{j_1} = \theta_q \tilde{W}_{j_1} + (0.5 - \theta_q) \tilde{W}_{j_1}$ действуют по x_1 . При этом $\theta_q = 0, 1/12$ для дискретизаций A, C соответственно (θ_q в случае B см. в [2, 3]); формулы для $\Delta V_{\alpha, q}$ даны в [1-4]. Это позволяет при известном $\tilde{\Psi}^{m-1}$ построить эффективный прямой алгоритм вычисления $\tilde{\Psi}^m$. Он использует прогонки по x_i , быстрые дискретные преобразования Фурье по x_2, \dots, x_n и формулы (7).

Результаты для каждой из дискретизаций A, B, C подробно даны в [1, 3, 4], см. также [2], причем они легко переносятся на случай задачи типа (1), (2) в бесконечном параллелепипеде (при этом значения V_{∞} могут различаться). Там же представлены оценки погрешности и результаты расчетов с прямоугольными и гладкими потенциалами (барьерами и ямами).

Работа выполнена при финансовой поддержке программы «Научный фонд НИУ ВШЭ», проект 14-01-0014.

Литература

1. B. Ducomet, A. Zlotnik, I. Zlotnik // ESAIM: Math. Model. Numer. Anal. 2014. V. 48. № 6. P. 1681-1699.
2. A. Zlotnik et al // Numer. Math. Adv. Appl. - ENUMATH 2013, A. Abdulle et al., eds. Lecture Notes Comput. Sci. Eng. Berlin, Springer, 2014. V. 103. P. 163-171.
3. A. Zlotnik, A. Romanova // Appl. Numer. Math. 2015, принято к печати.
4. B. Ducomet, A. Zlotnik, A. Romanova // Appl. Math. Comput. 2015, принято к печати.

Схема (3)-(6) непосредственно не реализуема на практике из-за бесконечности числа неизвестных на каждом слое по времени. Выполним ее сужение на конечную сетку по пространству $\bar{\omega}_h := \{x_j \in \bar{\omega}_{h, \infty}; 0 \leq j \leq J_1\}$. Пусть ω_h и $\partial\omega_h = \bar{\omega}_h \setminus \omega_h$ — внутренняя часть и граница $\bar{\omega}_h$, а $\Gamma_{1h} := \{x_j; j_1 \leq j \leq J_2 - 1, \dots, 1 \leq j_n \leq J_n - 1\}$ и $\Gamma_h = \partial\omega_h \setminus \Gamma_{1h}$ — части границы. Пусть также $\bar{\omega}_h := \omega_h \cup \Gamma_{1h}$, $\omega_{h_1} := \{j_1 h_1; 1 \leq j_1 \leq J_1 - 1\}$ и $\omega_{h_1} := \{(j_1 h_2, \dots, j_n h_n); 1 \leq j_2 \leq J_2 - 1, \dots, j_n \leq J_n - 1\}$.

По определению дискретное ПГУ — это такое (нелокальное) граничное условие на Γ_{1h} , которое позволяет выполнить указанное сужение. Чтобы его явно

записать, введем операторы $s_{n1}^- \tilde{W}_j = \frac{1}{12} \tilde{W}_{j-1} + \frac{5}{12} \tilde{W}_j$ (действует по x_1),

$$s_n^+ = s_{n1}^- + \frac{h^2}{24} \partial_2 \tilde{\partial}_2, \bar{s}_{n, \Gamma} := \prod_{2 \leq i \leq n, i \neq k} s_{ni}^-.$$

Положим $\Delta_1^{(n)} = \partial_2 \tilde{\partial}_2 + \dots + \partial_n \tilde{\partial}_n$, $\bar{s}_{n, \Gamma} \partial_2 \tilde{\partial}_2 + \dots + \bar{s}_{n, \Gamma} \partial_n \tilde{\partial}_n$ для дискретизаций A и C соответственно. Введем следующие аппроксимации $c_q \partial / \partial x_i$ на искусственной границе

$$\mathcal{D}_{1h}(\tilde{\Psi}, \tilde{\Psi}) := c_q \tilde{\partial}_1 \frac{\tilde{\Psi} + \tilde{\Psi}}{2} - h_1 \left[i\tilde{h} \frac{\tilde{\Psi} - \tilde{\Psi}}{\tau} + (c_h \Delta_1^{(h)} - V_{\sigma, 1}) \frac{\tilde{\Psi} + \tilde{\Psi}}{2} \right],$$

$$c_{h, n} s_{n2}^- \tilde{\partial}_1 \frac{\tilde{\Psi} + \tilde{\Psi}}{2} - h_1 [i\tilde{h} s_n^- \frac{\tilde{\Psi} - \tilde{\Psi}}{\tau} + (c_h s_{n1}^- \partial_2 \tilde{\partial}_2 - V_{\sigma, n}) \frac{\tilde{\Psi} + \tilde{\Psi}}{2}],$$

$$c_{h, n} s_{n1}^- \tilde{\partial}_1 \frac{\tilde{\Psi} + \tilde{\Psi}}{2} - h_1 s_{n1}^- [i\tilde{h} s_{n1}^- \frac{\tilde{\Psi} - \tilde{\Psi}}{\tau} + (c_h \Delta_1^{(h)} - V_{\sigma, n}) \frac{\tilde{\Psi} + \tilde{\Psi}}{2}]$$

для дискретизаций A, B, C соответственно.

Введем прямое \mathcal{F}_k и обратное \mathcal{F}_k^{-1} дискретные преобразования Фурье по синусам по x_k , $2 \leq k \leq n$. Пусть $(R * Q)^m := \sum_{p=0}^m R^p Q^{m-p}$ ($m \geq 0$) — дискретная свертка функций $R, Q: \bar{\omega}^T \rightarrow \mathbb{C}$.

Теорема 2. Пусть $F^m = 0$ и $\Psi^0 = 0$ на $\omega_{h, \infty} \setminus \omega_h$ при всех $m \geq 1$ и $\Psi^0|_{j_n - j_1 - 1} = 0$.

Решение схемы (3)-(6) такое, что $\tilde{\Psi}^m \in H_h$ при всех $m \geq 0$, удовлетворяет схеме с расщеплением на конечной сетке, в которой уравнения (3), (5) выполняются на $\omega_h \cup \Gamma_{1h}$, а (6) — на ω_h , с граничными условиями

$$\tilde{\Psi}^m|_{\Gamma_h} = 0, \tilde{\Psi}^m|_{\Gamma_{1h}} = 0, \mathcal{D}_{1h}(\tilde{\Psi}^m, \tilde{\Psi}^m) = c_h S_{\text{ref}}^m \tilde{\Psi}^0_{j_1} \text{ на } \Gamma_{1h}, \quad (8)$$

при всех $m \geq 1$ и начальным условием $\Psi^0 = \Psi^0_{h_1}$ на $\bar{\omega}_h$; здесь

$$\tilde{\Psi}^0_{j_1} = \{\tilde{\Psi}^0|_{j_1 - 1}, \dots, \tilde{\Psi}^0|_{j_1 - 1}\} \text{ — вектор-функция.}$$

Оператор в правой части дискретного ПГУ (8) имеет вид

$$S_{\text{ref}}^m \Phi^m := \mathcal{F}_2^{-1} \dots \mathcal{F}_n^{-1} [\sigma_q R_q * \Phi^q] \quad (9)$$